

Berechnung des stationären Magnet-
feldes kreiszylindrischer Spulen mit
rechteckigem Wicklungsquerschnitt und
gleichmäßiger Stromdichte

R. Pöhlchen

IPP 4/23

April 1967

INSTITUT FÜR PLASMAPHYSIK
GARCHING BEI MÜNCHEN

I N S T I T U T F Ü R P L A S M A P H Y S I K
G A R C H I N G B E I MÜNCHEN

Berechnung des stationären Magnetfeldes kreiszylindrischer Spulen mit rechteckigem Wicklungsquerschnitt und gleichmäßiger Stromdichte

R. Pöhlchen

IPP 4/23

April 1967

Die Programmierung in FORTRAN II für die IBM 7090 wurde von Frau Y. Kovetz und Fräulein H. Müller vorgenommen.

Die nachstehende Arbeit wurde im Rahmen des Vertrages zwischen dem Institut für Plasmaphysik GmbH und der Europäischen Atomgemeinschaft über die Zusammenarbeit auf dem Gebiete der Plasmaphysik durchgeführt.

April, 1967 (in German)

Abstract

The core of this report consists of a new method of calculating the field intensity of a semi-infinite circular-cylindrical coil (inner radius zero) with uniform current density in the cross-section. (Brown and Flax, 1964, see (8.9)) The derivation of the term for the vector-potential and the components of the field intensity from the Maxwell equations for the coil mentioned above will be briefly illustrated.

The superposition of the fields from four such coils results in a field of a circular-cylindrical coil with rectangular winding cross-section and uniform current density. The field intensity is also obtained particularly in the region of current flow.

On this basis a FORTRAN-program was written in the Institut für Plasmaphysik at Garching (Munich) for the calculation of the resulting field of a number of coaxial coils of this type. The program has successfully been used for almost two years. The report illustrates the program with examples. Standard methods of numerical mathematics by the use of calculated magnetic field intensities make it possible to evaluate other field properties. In section 3.4 the lines of force of a coil were calculated in this way.

Inhaltsverzeichnis

	Seite
Zusammenfassung	2
Einleitung	2
1. Mathematische Formulierung	
1.1 Stationäres Magnetfeld einer kreiszylindrischen Spule mit rechteckigem Wicklungsquerschnitt und gleichmäßiger Stromdichte	5
1.11 Magnetfeld der entsprechenden semi-infiniten Vollspule	7
1.12 Magnetfeld einer Anordnung von N ko-axialen Spulen mit rechteckigem Wicklungsquerschnitt	10
2. Erläuterungen zum Rechenprogramm	
2.1 Skizze der mit dem Programm berechenbaren Spulenanordnung	12
2.2 Zur numerischen Integration	12
2.3 Eingabedaten	12
2.4 Ausgabedaten	13
2.5 Genauigkeit	13
2.6 Rechenzeit	13
3. Rechenbeispiele	14
3.1 Berechnete Feldstärkekomponenten einer Spule, ausgedruckt in Tabellenform	
3.11 Berechnet mittels der hier beschriebenen Methode nach Brown und Flax mit zwei verschiedenen Stützstellenzahlen für die numerische Integration	15

3.12 Kontrollrechnung mit Hilfe der vollständigen elliptischen Integrale 1., 2. und 3. Gattung	17
3.2 Karten der berechneten Gitterpunkte mit eingebrachten relativen Werten der Feldstärkekomponenten	
3.21 Karte mit axialer Feldstärkekomponente	18
3.22 Karte mit radialer Feldstärkekomponente	19
3.3 Darstellung der Feldstärkekomponenten in Kurvenform und zwar	20
$B_Z = B_Z(R)$ $B_R = B_R(R)$ mit Z als Parameter	
3.4 Feldlinien der Spule, numerisch mittels B_Z und B_R nach Runge-Kutta-Verfahren berechnet	
3.41 Tabelle der berechneten Koordinaten der auf den Feldlinien gelegenen Punkte mit Feldstärkewerten in diesen Punkten	21
3.42 Berechnetes Feldlinienbild	22
4. Rechenprogramm in FORTRAN II für die IBM 7090 des IPP	23

Zusammenfassung

Kern des Berichtes ist eine neue Methode zur Berechnung der Feldstärke einer semi-infiniten kreiszylindrischen Vollspule (Innenradius Null) mit gleichmäßiger Stromdichte im Querschnitt. (Brown und Flax, 1964, siehe (8,9)). Die Ableitung der Ausdrücke für Vektorpotential und Feldstärkekomponenten aus den Maxwell'schen Gleichungen für die genannte Spule wird kurz skizziert.

Superposition der Felder von vier solchen Spulen liefert das Feld einer kreiszylindrischen Spule mit rechteckigem Wicklungsquerschnitt und gleichmäßiger Stromdichte. Insbesondere erhält man die Feldstärke auch im stromführenden Gebiet.

Im Institut für Plasmaphysik, Garching, ist auf obiger Basis ein FORTRAN-Programm zur Berechnung des Gesamtfeldes mehrerer koaxialer Spulen der angegebenen Art geschrieben worden. Es hat sich seit nahezu zwei Jahren bewährt. Der Bericht bringt Erläuterungen des Programm's mit Berechnungsbeispielen. Standardmethoden der numerischen Mathematik ermöglichen unter Benutzung der berechneten Feldstärke die Bestimmung sonstiger Feldeigenschaften. Im Abschnitt 3.4 sind so die Feldlinien einer Spule berechnet worden.

Einführung

Das stationäre Magnetfeld linienförmiger Kreisströme lässt sich mathematisch auf unterschiedliche Art beschreiben: mittels elliptischer Integrale, Bessel-, Torus- oder Legendrefunktionen. (Literaturhinweise 1, 3, 4, 5). Entsprechendes gilt für das Feld von Spulen, die aus einer Vielzahl solcher Kreisströme gebildet werden. Die grundlegenden Dinge hierüber findet man teils schon in der gegen Ende des 19. Jahrhunderts entstandenen Fachliteratur.

Dagegen gibt es Aussagen über die Brauchbarkeit der verschiedenen Darstellungsformen für eine exakte numerische Berechnung erst seit der Existenz leistungsfähiger Rechenautomaten, also seit wenig

mehr als zehn Jahren. Im gleichen Zeitraum sind Tabellenwerke entstanden, welche eine wenigstens näherungsweise Berechnung von Feldern ermöglichen sollen, falls kein Rechenautomat zur Verfügung steht. (6, 7, 9)

Zusammenfassend lässt sich folgender Vergleich ziehen:

Die Reihenentwicklung nach Legendre-Funktionen versagt ganz im Gebiet, in dem die Stromdichte ungleich Null ist und konvergiert umso langsamer, je mehr sich der Aufpunkt diesem Gebiet nähert. Andererseits ist es die flexibelste Methode, wenn aus der magnetischen Feldstärke resultierende Größen - wie Selbst- und Wechselinduktivitäten, Kräfte, Feldgradienten, magnetischer Fluß - zu berechnen sind. Quellpunkt und Aufpunktkoordinaten treten in separaten Faktoren auf (2, 3), was den Entwurf von Spulen und Spulensystemen mit Feldern spezieller Eigenschaften (Homogenität bestimmten Grades, konstanter Feldgradient (1,2)) erleichtert. Integration über die Quellpunktkoordinaten ist häufig geschlossen ausführbar, wie in (1,2) für den kreiszylindrischen Flächenstrom, den ebenen kreisringförmigen Flächenstrom und die kreiszylindrische Spule mit rechteckigem Wicklungsquerschnitt gezeigt. Im Gebiet genügend rascher Konvergenz ist dies die Methode mit der kürzesten Rechenzeit und daher in der computerlosen Zeit in der Regel benutzt worden (10).

Bei der Feldberechnung axialsymmetrischer Stromkreise mittels der elliptischen Integrale ist im Fall räumlich ausgedehnter Stromverteilungen eine numerische Integration in radialer Richtung über das stromerfüllte Gebiet erforderlich. Das Feld des semi-infiniten kreiszylindrischen Flächenstroms lässt sich durch die vollständigen elliptischen Integrale 1., 2. und 3. Gattung (K, E, Π) beschreiben, dasjenige eines linienförmigen Kreisstromes durch K und E allein. (11, 12, 13, 14)

Zweckmäßigste Berechnung von K und E und deren Linearkombinationen siehe (15), falls außerdem Π benötigt wird, siehe (16). Für Spulen und Spulensysteme lassen sich hier über die Feldstärke hinaus Vektorpotential, axiale Kräfte zwischen Spulen, mechanische Spannungen

im Spulenkörper, Selbst- und Wechselinduktivitäten berechnen. Ein hierfür im Entstehen begriffenes Rechenprogramm wird im vorliegenden Bericht als Kontrollrechnung benutzt. (Siehe unter Abschnitt 3.12)

Die in diesem Bericht beschriebene Methode vermeidet die Berechnung der elliptischen Integrale. Der Ausdruck für das Vektorpotential bzw. die Feldstärke eines linienförmigen Kreisstromes ist 1964 erstmals von Brown und Flax (8, 9) über die Quellpunktkoordinaten in radialer und axialer Richtung für einen Rechteckquerschnitt geschlossen integriert worden, - übrig bleibt lediglich eine numerische Integration über den Winkel. Die Berechnung der Feldstärke auch im stromführenden Gebiet ist hiernach ohne Komplikationen möglich - was von keinem anderen Berechnungsverfahren gesagt werden kann.

1. Mathematische Formelierung

1.1 Magnetfeld einer kreiszylindrischen Spule mit rechteckigem Wicklungsquerschnitt und gleichmäßiger Stromdichte.

Aus den Maxwell-Gleichungen für das stationäre Magnetfeld

$$\begin{aligned} \text{rot } \mathbf{B} &= \mu \mathbf{H} \\ \text{div } \mathbf{B} &= 0 \end{aligned}$$

ergibt sich mit $\mathbf{B} = \mu \mathbf{H} = \text{rot } \mathbf{A}$ und $\text{div } \mathbf{A} = 0$
(μ = Konst. im betrachteten Gebiet)

$$\Delta \mathbf{A} = -\mu \mathbf{H}$$

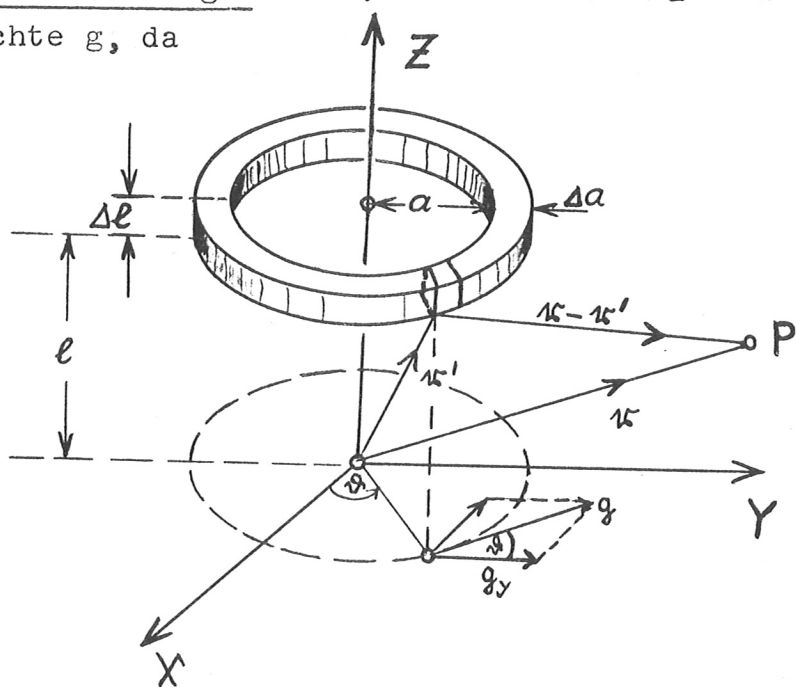
Für die Komponenten von \mathbf{A} in kartesischen Koordinaten - und nur für diese - folgen daraus drei Gleichungen in Form der Poisson'schen Diff.-Gleichung

$$A_x = -\mu g_x \quad \text{usw.}$$

deren Lösung (siehe Elektrostatik) lautet:

$$A_x = \frac{\mu}{4\pi} \int \frac{g_x(\kappa') dV'}{|\kappa - \kappa'|} \quad (1.)$$

Speziell gilt für das Vektorpotential A eines stromdurchflossenen Kreisringes vom Querschnitt $\Delta a \cdot \Delta l$ und der Stromdichte g , da



Rotationssymmetrie: $g = g_\vartheta$, $A = A_\vartheta$ (R, Z).

Für einen Aufpunkt P in Ebene $y = 0$ ist dann:

$$A_y = A_\vartheta = A$$

$$A = \frac{\mu}{4\pi} \int \frac{g_y dV'}{|\kappa - \kappa'|}$$

(a, ϑ, l) Quellpunkt } in Zylinderkoordinaten
 ($R, 0, Z$) Aufpunkt }

$$|\kappa - \kappa'| = \sqrt{(\kappa - \kappa')^2} = \sqrt{(Z-1)^2 + R^2 + a^2 - 2Ra \cos \vartheta}$$

$$g_y = g \cos \vartheta \quad (\text{siehe Skizze})$$

$$dA(R, Z) = \frac{\mu g}{4\pi} \int_{\vartheta=0}^{2\pi} \frac{a \cos \vartheta \Delta a \cdot \Delta l \cdot d\vartheta}{[(Z-1)^2 + R^2 + a^2 - 2 Ra \cos \vartheta]^{1/2}}$$

Integration über den Spulenquerschnitt ergibt

$$(2.) A(R, Z) = \frac{\mu g}{4\pi} \int_{a=R_i}^{R_a} \int_{l=0}^L \int_{\vartheta=0}^{2\pi} \frac{a \cdot \cos \vartheta da dl d\vartheta}{[(Z-1)^2 + R^2 + a^2 - 2 Ra \cos \vartheta]^{1/2}}$$

mit g Stromdichte; konst. über Spulenquerschnitt.

R_a Spulen-Außenradius

R_i Spulen-Innenradius

L Spulenlänge

$$\mu = \mu_0 \cdot \mu_r \quad \text{Permeabilität}$$

bei Rotationssymmetrie folgt für die Feldstärke aus

$$\mu \varphi = \text{rot } \mathbf{A}$$

$$H_r = - \frac{1}{\mu} \cdot \frac{\partial A_\varphi}{\partial Z}$$

$$H_z = \frac{1}{\mu} \frac{1}{R} \frac{\partial}{\partial R} (R \cdot A_\varphi) = \frac{1}{\mu} \left[\frac{\partial A_\varphi}{\partial R} + \frac{A_\varphi}{R} \right]$$

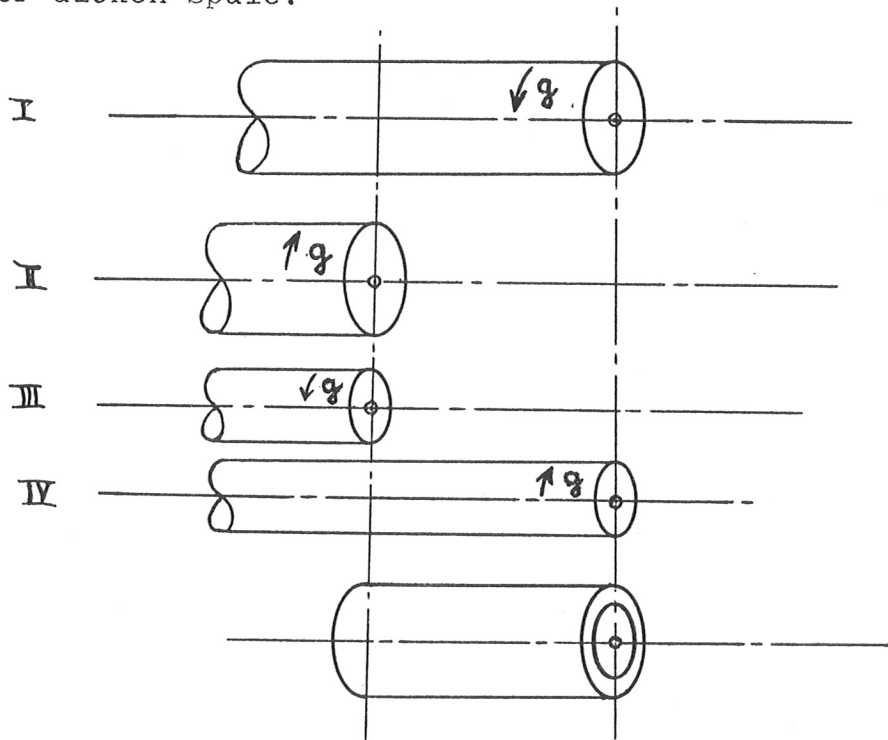
1.11 Feld der semi-infiniten kreiszylindrischen Vollspule

(Innenradius Null, gleichmäßige Stromdichte)

Nach Gleichung (2) ist

$$A = A(R, Z, R_a, R_i, L)$$

für die Rechteckspule, analoges gilt für H_R und H_Z . Eine Darstellung in Tabellen oder Kurven ist praktisch unmöglich. Dagegen läßt sich das Feld der semi-infini-ten Vollspule mit dem Radius 1 in Tabellen darstellen: Es ist nur noch $A = A(R, Z)$, desgleichen $H_R = H_R(R, Z)$ und $H_Z = H_Z(R, Z)$. Tabelle und Darstellung in Kurven, siehe Literaturverzeichnis (9). Die Superposition von vier solchen semi-infini-ten Vollspulen liefert das Feld einer dicken Spule:



Die Feldstärkebestimmung mit Hilfe derartiger Tabellen wird recht ungenau, da schon die Feldstärke einer semi-infinite Vollspule in der Regel durch Interpolation aus 4 Tabellenwerten gewonnen werden muß. Besser ist die stets neue Durchrechnung einer Spule oder Spulenanordnung mit der Rechenmaschine.

Für die semi-infinite Vollspule wird aus (2)

$$A(R, Z) = \frac{\mu_0}{4\pi} \int_{a=0}^b \int_{l=-\infty}^0 \int_{\vartheta=0}^{2\pi} \dots \quad (3)$$

Differentiation von A (R, Z) nach Z und anschließende geschlossene Integration über a und l (siehe 8, 9) führt nach Einführung von dimensionslosen Koordinaten

$$r = \frac{R}{b} \quad \text{und} \quad z = \frac{Z}{b} \quad \text{auf}$$

$$\begin{aligned} h_r = \frac{H_r}{gb} &= + \frac{1}{2\pi} \int_0^\pi \cos \varphi \cdot (z^2 + r^2 + 1 - 2r \cos \varphi)^{1/2} d\varphi + \\ &+ \frac{r}{2\pi} \int_0^\pi \cos^2 \varphi \cdot \operatorname{Arsh} \frac{1 - r \cos \varphi}{(z^2 + r^2 \sin^2 \varphi)^{1/2}} d\varphi \quad (4) \end{aligned}$$

Für $z = 0$ wird das 2. Integral uneigentlich, daher Überführung obigen Ausdrucks durch partielle Integration in

$$\begin{aligned} h_r(r, z = 0) &= \frac{1}{2\pi} \int_0^\pi \cos \varphi \cdot (1 + r^2 - 2r \cos \varphi)^{1/2} d\varphi + \\ &+ \frac{r}{2\pi} \int_0^\pi \sin^2 \varphi \cdot \operatorname{Arsh} \frac{1 - r \cos \varphi}{r \sin \varphi} d\varphi - (5) \\ &- \frac{r}{2\pi} \int_0^\pi \frac{\cos \varphi (r - \cos \varphi)}{(1 + r^2 - 2 \cos \varphi)} d\varphi \end{aligned}$$

Mühsamer ist die Berechnung der axialen Komponente:

Ausgehend vom Ausdruck

$$H_z = \frac{1}{\mu} \left[\frac{\partial A}{\partial R} + \frac{A}{R} \right]$$

gewinnt man durch Differentiation nach R aus (3) den ersten Summanden und durch partielle Integration über φ das Glied $\frac{A}{R}$;

dann geschlossene Integration über l und a. In dimensionsloser Form lautet der Ausdruck für die z - Komponente der semi-infiniten Spule

$$\begin{aligned}
 h_z(r, z) = & -\frac{z}{2\pi} \int_0^{\pi} \ln \frac{2 [1-r\cos\vartheta + P^{1/2}(z, r, 1)]}{|z| + (z^2 + r^2)^{1/2}} d\vartheta \\
 & + \frac{zr^2}{2\pi} \int_0^{\pi} \frac{\sin^2\vartheta}{Q(r, 1) P^{1/2}(z, r, 1)} d\vartheta + \\
 & + \frac{rz}{2\pi|z|} \int_0^{\pi} d\vartheta \sin\vartheta \arctg \frac{|z|(1-r\cos\vartheta)}{r \sin\vartheta P^{1/2}(z, r, 1)} + \\
 & + \frac{1}{4} (1 - r + |1 - r|)
 \end{aligned} \tag{6}$$

die Abkürzung P und Q bedeuten darin

$$P(z, r, 1) = z^2 + r^2 + 1 - 2r \cos\vartheta = z^2 + Q(r, 1)$$

$$Q(z, r, 1) = r^2 + 1 - 2r \cos\vartheta$$

112 Magnetfeld einer Anordnung von N koaxialen Spulen.

Bezeichnungen:

N : Zahl der Spulen

K : laufender Index, K = 1, 2, 3 ... N

R_{aK} : Außenradius der K.-ten Spule

R_{iK} : Innenradius der K.-ten Spule

L_K : Länge der K.-ten Spule

a_K : Distanz Ebene Z = 0 - Spulenmittelebene

g_K : Stromdichte der K.-ten Spule

P(R, Z) : Aufpunkt im Koord.-System R, Z.

Damit lauten die in die Gleichungen (4), (5) und (6) einzusetzenden dimensionslosen Koordinaten

$$r_{IK} = r_{IIK} = R/R_{aK}$$

$$r_{IIIK} = r_{IVK} = R/R_{iK}$$

$$z_{IK} = \frac{1}{R_{aK}} \left[z - \frac{1}{2} L_K - a_K \right]$$

$$z_{IIK} = \frac{1}{R_{aK}} \left[z + \frac{1}{2} L_K - a_K \right]$$

$$z_{IIIK} = \frac{1}{R_{ik}} \left[z + \frac{1}{2} L_K - a_K \right]$$

$$z_{IVK} = \frac{1}{R_{ik}} \left[z - \frac{1}{2} L_K - a_K \right]$$

$$\begin{aligned} h_{ZK} &= \frac{R_{aK}}{R_{ik}} (h_{ZIK} - h_{ZIIK}) + h_{ZIIIK} - h_{ZIVK} \\ h_{RK} &= \frac{R_{aK}}{R_{ik}} (h_{RIK} - h_{RIIK}) + h_{RIIIK} - h_{RIVK} \end{aligned} \quad (7)$$

$$H_Z \text{ ges.} = \sum_{\substack{K=1 \\ N}}^{N} h_{ZK} \cdot g_K \cdot R_{ik} \quad (8)$$

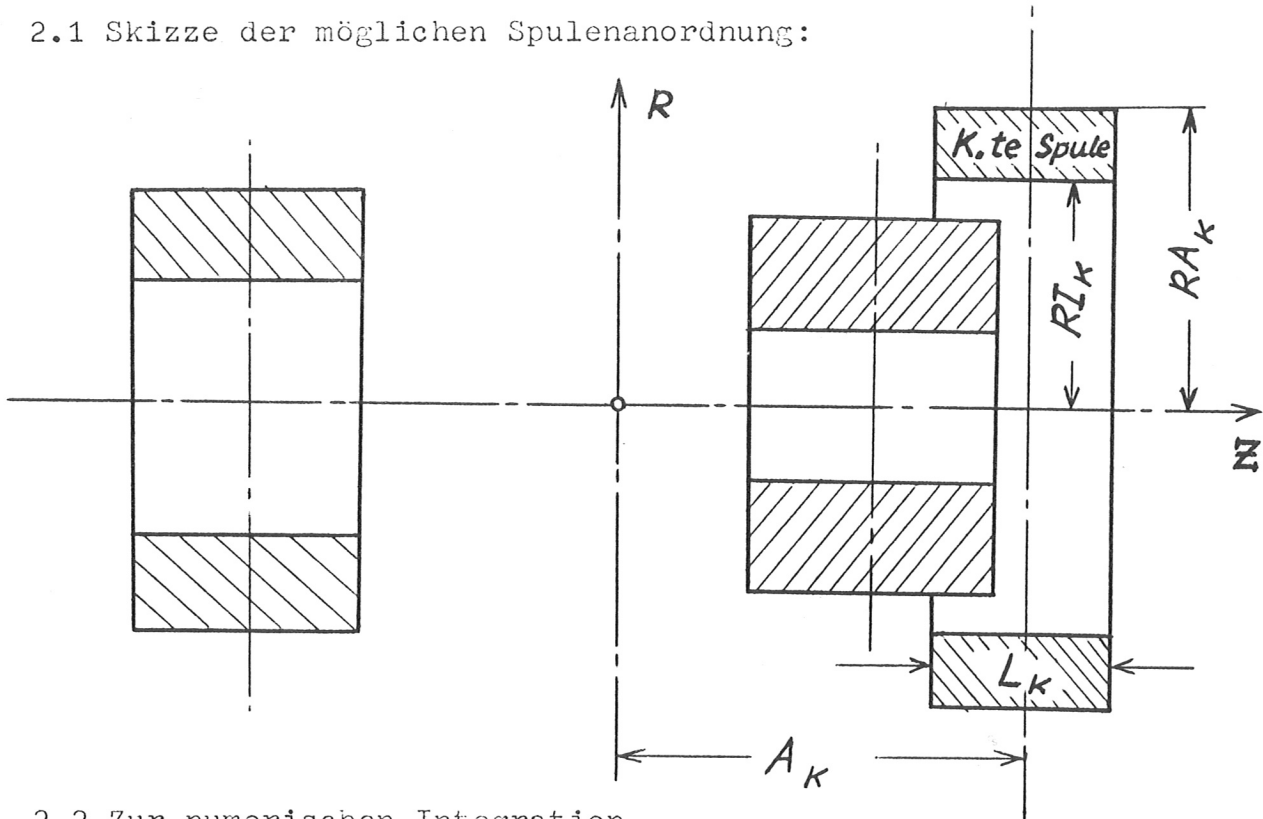
$$H_R \text{ ges.} = \sum_{\substack{K=1 \\ N}}^{N} h_{RK} \cdot g_K \cdot R_{ik}$$

H_Z und H_R erhält man in $\frac{A}{cm}$ bei Einsetzung von g_K in $\frac{A}{cm^2}$ und R_{ik} in cm.

2. Erläuterungen zum Programm

Das Programm ist in Fortran II geschrieben. Es berechnet die axiale und die radiale Komponente der Gesamtfeldstärke und deren Resultierende für eine „beliebige“ Zahl N koaxialer Spulen. Abmessungen und Stromdichten können von Spule zu Spule variieren.

2.1 Skizze der möglichen Spulenanordnung:



2.2 Zur numerischen Integration

Über die Quellpunktkoordinate ϑ ist eine numerische Integration erforderlich. Die Anwendung der Gauß'schen Methode verkürzt hier die Rechenzeit auf fast 1/10 der bei Verwendung der Simpson-Regel erforderlichen Rechenzeit. Die benutzte Integrations-Subroutine wurde der Programmabibliothek des IPP entnommen. (Progr. 539/P 1/ GLF/GAU 2) In der Subroutine bedeutet die Wahl von N eine Zahl von 10 . N Stützstellen für die numerische Integration.

2.3. Eingabedaten

Stromkreisdaten:

Spulenzahl N
Laufender Index K = 1, 2, ... N
Innenradien R I (K)
Außenradien R A (K)
Spulen-Längen FL (K)
Abstände Ebene Z = 0 bis
Spulenmittelebene A (K)

Stromdichte G (K)

Angabe des zu berechnenden Gitters

durch

Z MAX, Z MIN

R MAX, R MIN

NPZ: Zahl der Gitterpunkte bei festem R

NPR: Zahl der Gitterpunkte bei festem Z

2.4 Ausgabedaten

Bei Einsetzen von G (K) in A/cm^2 und der Längen in cm erhält man B_Z , B_R , B für das angegebene Gitter in Tabellenform ausgedruckt in Gauß (siehe Rechenbeispiel unter 3.11). Die Werte können gleichfalls auf Magnetband gespeichert werden.

2.5 Genauigkeit

Die Genauigkeit lässt sich durch die Zahl der Stützstellen für die numerische Integration in der Regel erhöhen.

Bei 30 Stützstellen ($N_G = 3$) hat man das Ergebnis außerhalb des Spulenkörpers auf etwa 6 Stellen richtig. Für kleine Spulenlänge L oder kleine Wicklungshöhe ($R_a - R_i$) kann das Ergebnis ungenau werden infolge Verlust von geltenden Ziffern bei der Subtraktion fast gleich großer Feldstärkewerte der semi-infiniten Vollspulen.

2.6 Die Rechenzeit beträgt bei 30 Stützstellen auf der IBM 7090 für die Berechnung des Zahlentripels B_Z , B_R , B für einen Aufpunkt und eine Spule ca. 1 Sekunde.

3. Rechenbeispiele

Als Beispiel wird das Feld von drei koaxialen, dicht gepackten Spulen von Typ Sp 300/12 berechnet. Die Sp 300/12 ist eine von der Gruppe Magnetfeldtechnik des IPP entwickelte wassergekühlte Spule. In den Tabellen ist die beim max. zulässigen Dauerstrom erzeugte Feldstärke ausgedruckt, hier ausnahmsweise mit sechs Ziffern, sonst in der Regel mit vier.

Für die numerische Integration der Differentialgleichung der Feldlinien (Abschnitt 3.4) wird ein von M. Larkin im Culham-Bericht CLM - R 31 angegebenes Programm benutzt. Es basiert auf einem Runge-Kutta Verfahren 4. Ordnung. Als Schrittweite kann ein Stück Bogenlänge (DS) vorgegeben werden. Ein im eben zitierten Bericht angegebenes Programm zur Bestimmung der $H = \text{const.}$ Linien ist gleichfalls wiederholt benutzt worden.

3.11

Feldstärke einer Spule, berechnet analog der Methode von Brown und Flax:

CASE NUMBER

$$R_{\text{MAX}} = 0.2400E \quad 0.2 \quad Z_{\text{MIN}} = 0.0 \quad Z_{\text{MAX}} = 0.2100E \quad 0.2$$

AUSSENRADIFF.
 C. 2700 E 02
 INNENFACIAFN
 C. 1500 F 02
 LAEGENG DER SPULFA
 0.1200 E 02
 APPSTAENDE
 O.
 STROMUICHTIG
 C. 3X33E 04

Für die numerische Integration nach Gauß 30 Stützstellen gewählt.

BZ IN GAUSS

Z	In FIN	Cw	0.	3.-C	6.-C	9.-C	12.-C	15.-C	18.-C	21.-C	24.-C	
C	0.162467F	0.5	0.164951F	0.5	0.172506E	0.5	0.187130E	0.5	0.212230E	0.5	0.252213E	0.5
3.-C	0.171778F	0.5	0.159952F	0.5	0.166566E	0.5	0.179033E	0.5	0.200480E	0.5	0.238312E	0.5
6.00C	0.145255F	0.5	0.146655F	0.5	0.150541E	0.5	0.167318E	0.5	0.180265E	0.5	0.182404E	0.5
9.00C	0.127465E	0.5	0.127940E	0.5	0.128966E	0.5	0.129870E	0.5	0.128181E	0.5	0.124035E	0.5
12.00C	0.107910F	0.5	0.107661E	0.5	0.106653E	0.5	0.103986E	0.5	0.978220E	0.4	0.116833F	0.4
15.00C	0.891436F	0.4	0.885458E	0.4	0.885628E	0.4	0.882622E	0.4	0.758422E	0.4	0.855764E	0.4
18.00C	C-72622.5E	0.4	0.719250E	0.4	0.697329E	0.4	0.657792E	0.4	0.597504E	0.4	0.515299E	0.4
21.00C	2.588126E	0.4	0.581531E	0.4	0.561371E	0.4	0.522679E	0.4	0.472233E	0.4	0.433662E	0.4

BR IN GAUSS

Z	IN CM	0.	3.00	6.00	9.00	12.00	15.00	18.00	21.00	24.00				
0.	-0.	-0. C 43 43 4 F -C 5	0. 463 44 6 F	C 3	C 0. 102 20 1 F	C 4	C 0. 181 25 4 F	C 4	C 0. 305 78 7 F	C 4	C 0. 489 98 5 F	C 4	0.	
3.00C	-0.	-0. 92 4 G F F -C 4	0. 810 36 6 F	C 3	0. 176 56 F	C 4	0. 301 05 E	C 4	0. 414 91 7 E	C 4	0. 638 64 E	C 4	0. 674 172 E	C 4
6.00C	-0.	-0. 1 4 7 5 2 6 F -C 3	0. 764 16 6 F	C 3	0. 147 5 2 6 F	C 4	0. 208 73 E	C 4	0. 347 85 4 F	C 4	0. 536 07 6 E	C 4	0. 778 13 E	C 4
9.00C	-0.	-0. 1 4 7 5 2 6 F -C 4	0. 980 09 7 F	C 3	0. 984 11 8 F	C 4	0. 325 70 2 E	C 4	0. 462 14 4 F	C 4	0. 599 03 3 F	C 4	0. 967 21 6 E	C 4
12.00C	-0.	-0. 1 4 7 5 2 6 F -C 3	0. 984 11 8 F	C 3	0. 191 17 4 F	C 4	0. 226 83 E	C 4	0. 294 08 E	C 4	0. 458 84 F	C 4	0. 515 18 6 F	C 4
15.00C	-0.	-0. 1 4 7 5 2 6 F -C 3	0. 984 11 8 F	C 3	0. 191 17 4 F	C 4	0. 226 83 E	C 4	0. 294 08 E	C 4	0. 352 20 4 E	C 4	0. 397 52 7 F	C 4
18.00C	-0.	-0. 1 4 7 5 2 6 F -C 3	0. 984 11 8 F	C 3	0. 191 17 4 F	C 4	0. 226 83 E	C 4	0. 294 08 E	C 4	0. 352 20 4 E	C 4	0. 397 52 7 F	C 4
21.00C	-0.	-0. 51 6 1 8 2 E -C 4	0. 621 15 4 F	C 3	0. 122 93 2 E	C 4	0. 185 07 E	C 4	0. 231 54 9 E	C 4	0. 271 71 8 E	C 4	0. 303 33 7 E	C 4

$$B = \sqrt{B7^2 + BB2^2}$$

Z IN CM

Für die numerische Integration nach Gauß 40 Stützstellen gewählt:

Z	R IN CM	BZ IN GAUSS
0.	C. 162467E 05	C. 3.00
3.00	0.157878E 05	0.164851E 05
6.00	0.145255F 05	0.159955E 05
9.00	0.127485E 05	0.146557F 05
12.00	0.107910F 05	0.127904E 05
15.00	0.891436F C4	0.885458E 04
18.00	0.726228E 04	0.719250E 04
21.00	0.588128E 04	0.581532E 04

Z	R IN CM	BZ IN GAUSS
0.	C. -C.	3.00
3.00	-C. 435251E-04	0.
6.00	C. 225524E-C4	0.463447E 03
9.00	-C. 865C22E-C5	0.810366F 03
12.00	C. 1C8279E-04	0.98097E 03
15.00	C. 137890E-03	0.205157E 03
18.00	-C. 391109E-04	0.759516F 03
21.00	C. 3P7736E-C4	0.621154E 03

Z	R IN CM	BZ IN GAUSS
0.	C. 180508E 04	0.231549E 04
3.00	C. 122952E C4	0.271718F 04
6.00	0.	0.252209F 05
9.00	0.187132E 05	0.212148E 05
12.00	0.163689E 05	0.163689E 05
15.00	0.163689E 05	0.163689E 05
18.00	0.163689E 05	0.163689E 05
21.00	0.163689E 05	0.163689E 05
24.00	0.163689E 05	0.163689E 05

Z	R IN CM	BZ IN GAUSS
0.	C. 180508E 04	0.296581F 04
3.00	C. 122952E C4	0.303380E 04
6.00	0.	0.292480E 04
9.00	0.	0.292480E 04
12.00	0.	0.292480E 04
15.00	0.	0.292480E 04
18.00	0.	0.292480E 04
21.00	0.	0.292480E 04
24.00	0.	0.292480E 04

3.12

Kontrollrechnung mittels der vollst. elliptischen Integrale 1., 2. und 3. Gattung.

R <small>A</small> (T)	R <small>I</small> (T)	L(T)	G <small>L</small> (T)	D <small>L</small> (T)	T	0.1500E 02	0.1200E 02	0.3833E 04	0.	1.
0.2700E 02										

10 BZ IN GAUSS											
0.	0.	0.	0.	6.00	12.00	18.00	24.00	30.00			
0.	0.162452E	0.172491E	0.174491E	0.212129E	0.212129E	0.156794E	0.887660E	0.400000E	0.582233E	0.5	
3.00	0.157864E	0.165522E	0.166482E	0.16987E	0.16987E	0.146987E	0.114618E	0.050000E	0.524582E	0.5	
6.00	0.145242E	0.150523E	0.167318E	0.19867E	0.19867E	0.164422E	0.146422E	0.050000E	0.355668E	0.5	
9.00	0.127473E	0.128952E	0.128170E	0.178955E	0.178955E	0.1788382E	0.1788382E	0.050000E	0.168481E	0.5	
12.00	0.107901E	0.106644E	0.978139E	0.663891E	0.663891E	0.211752E	0.211752E	0.050000E	0.497282E	0.4	
15.00	0.891358E	0.865553E	0.758426E	0.21237E	0.21237E	0.214352E	0.214352E	0.050000E	0.164700E	0.4	
18.00	0.726165E	0.697268E	0.597452E	0.414997E	0.414997E	0.203074E	0.203074E	0.050000E	0.520372E	0.4	
21.00	0.568077E	0.561323E	0.477192E	0.339612E	0.339612E	0.186413E	0.186413E	0.050000E	0.699611E	0.4	

Für Simpson-Integration

10 BR IN GAUSS											
0.	0.	0.	0.	6.00	12.00	18.00	24.00	30.00			
0.	0.102192E	0.305745E	0.	0.	0.	0.	0.	0.	0.	0.	
3.00	0.176441E	0.514633E	0.136145E								
6.00	0.208713E	0.536014E	0.967771E								
9.00	0.205139E	0.462102E	0.655666E								
12.00	0.19118E	0.374057E	0.514136E	0.490515E							
15.00	0.151869E	0.295583E	0.387495E	0.375446E							
18.00	0.122942E	0.231529E	0.296552E	0.292445E							
21.00	0.	0.	0.	0.	0.	0.	0.	0.	0.	0.	

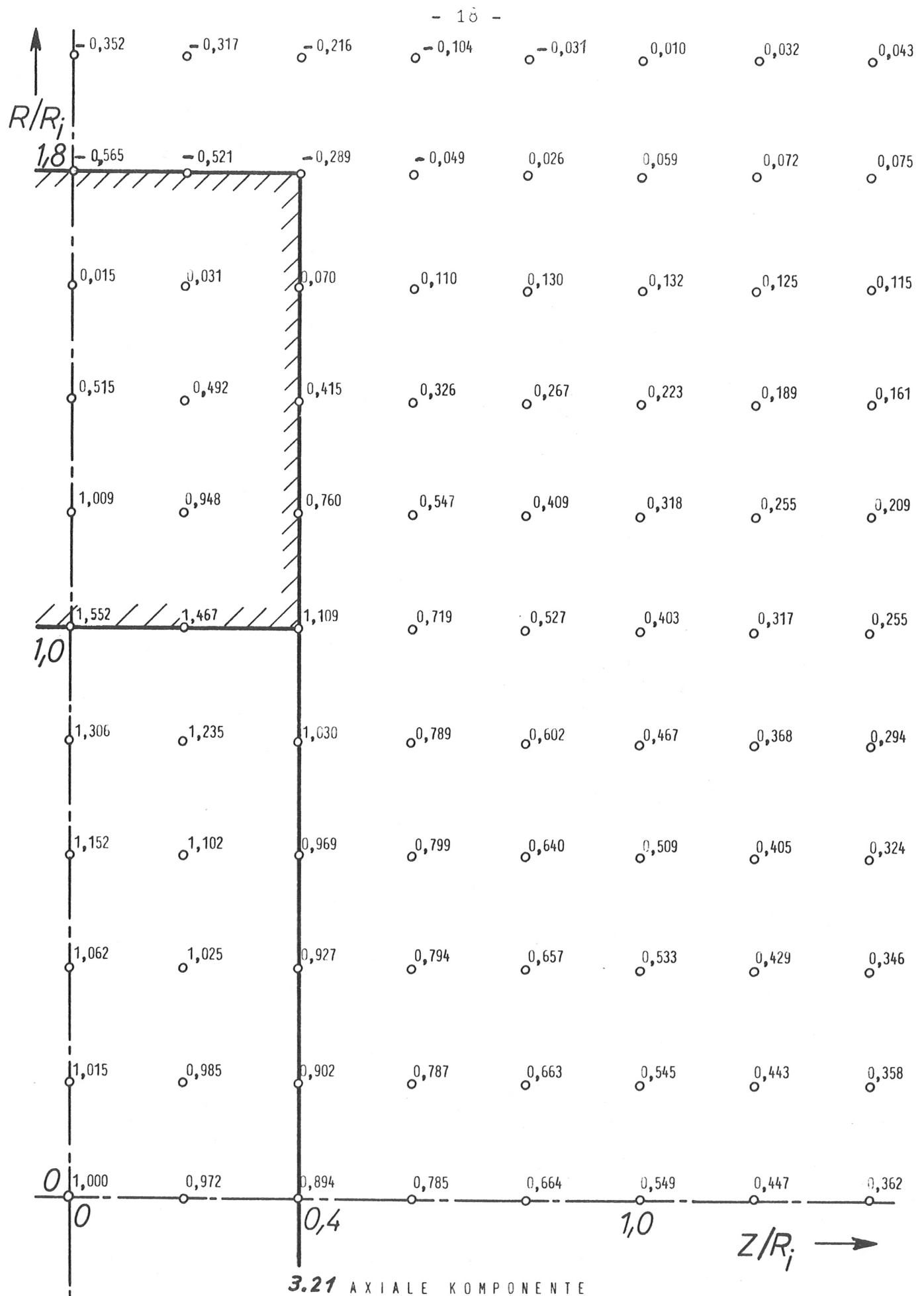
Für Simpson-Integration

Für numerische Integration nach Simps. 26 Stützstellen gewählt.

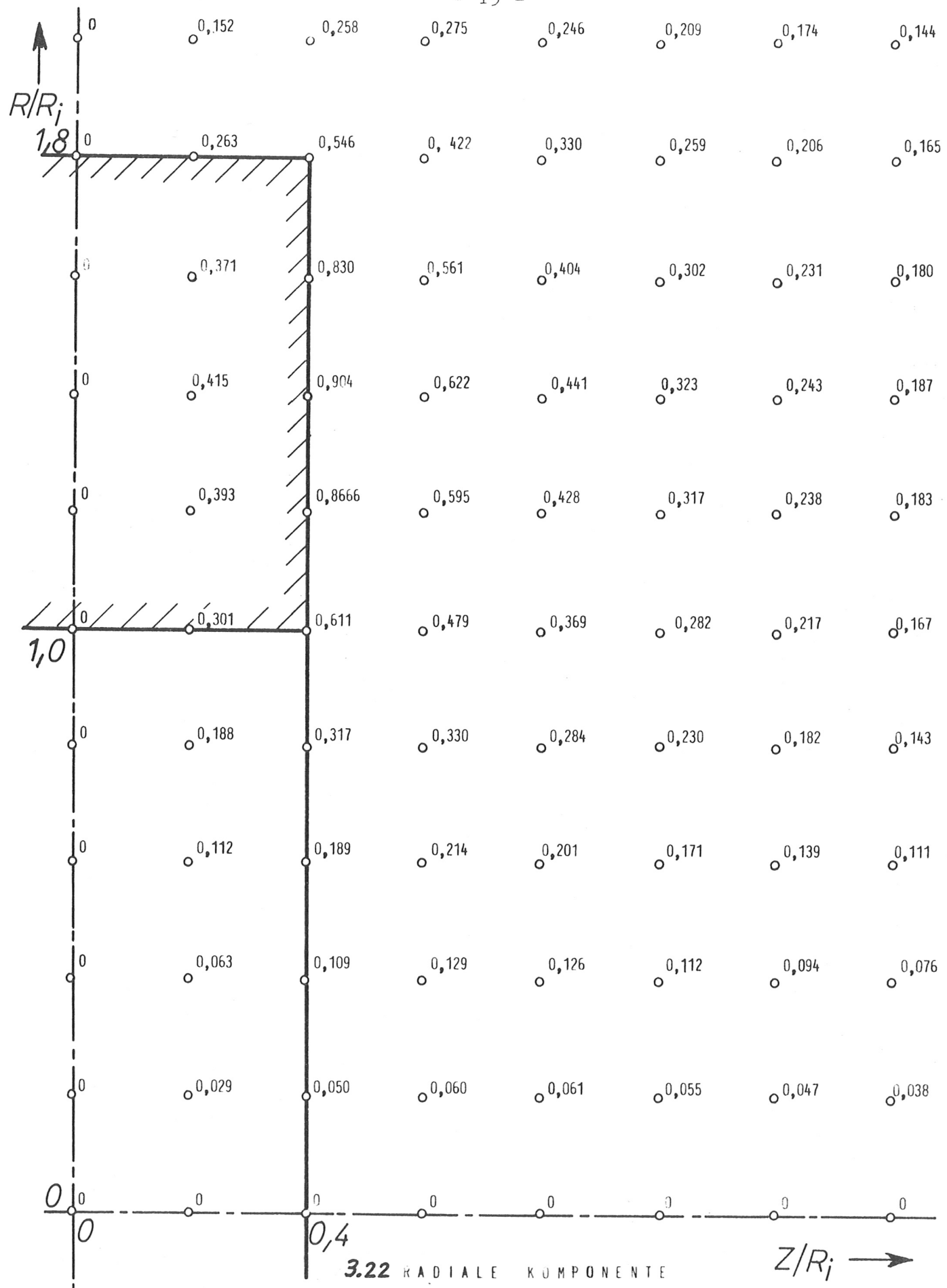
10 BZ IN GAUSS											
0.	0.	0.	0.	16.00	18.00	20.00	22.00	24.00	26.00	28.00	30.00
0.	0.217418E	0.167308E	0.121752E	0.461754E	0.461754E	0.170967E	0.460000E	0.550111E	0.500000E	0.787318E	0.500000E
3.00	0.204302E	0.157572E	0.115435E	0.444479E	0.444479E	0.176002E	0.487267E	0.500000E	0.714359E	0.500000E	0.532233E
6.00	0.159202E	0.125160E	0.916248E	0.432992E	0.432992E	0.934909E	0.428531E	0.500000E	0.254513E	0.500000E	0.524572E
9.00	0.122373E	0.109118E	0.888387E	0.409227E	0.409227E	0.178951E	0.426414E	0.500000E	0.112742E	0.500000E	0.355666E
12.00	0.904607E	0.798678E	0.663390E	0.511718E	0.511718E	0.211753E	0.513340E	0.500000E	0.913983E	0.500000E	0.497281E
15.00	0.693467E	0.612131E	0.517237E	0.414432E	0.414432E	0.214352E	0.510977E	0.500000E	0.130950E	0.500000E	0.647485E
18.00	0.544972E	0.483458F	0.414997E	0.270864E	0.270864E	0.203074E	0.203074E	0.050000E	0.921469E	0.050000E	0.520372E
21.00	0.436212E	0.3889836E	0.339612E	0.287461E	0.287461E	0.235654E	0.235654E	0.050000E	0.186414E	0.050000E	0.699612E

Für Simpson-Integration

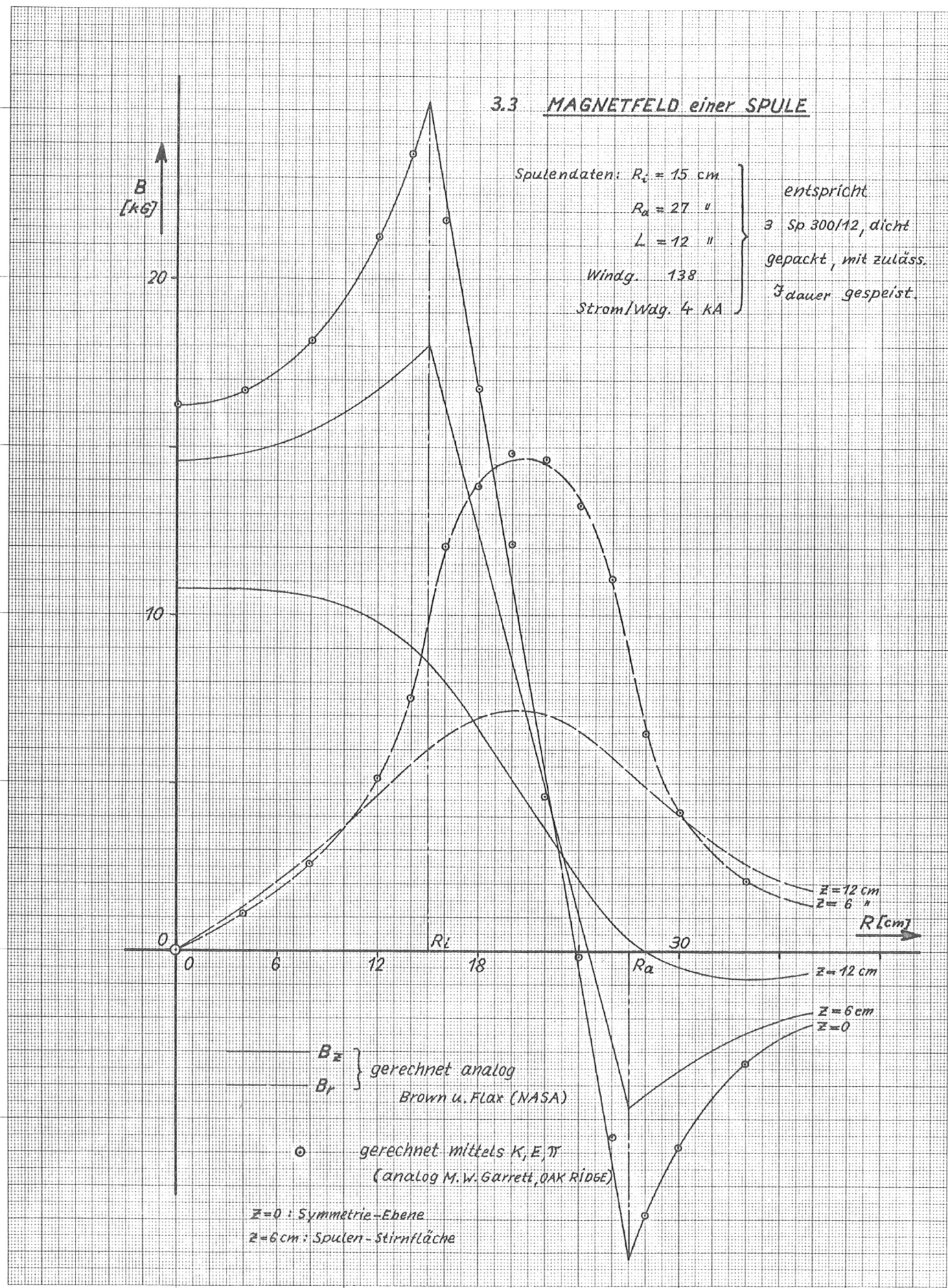
10 BR IN GAUSS											
0.	0.	0.	0.	14.00	16.00	18.00	20.00	22.00	24.00	26.00	28.00
0.	0.424024E	0.550281E	0.639235F	0.	0.	0.	0.	0.	0.	0.	0.
3.00	0.755384E	0.20390E	0.138288E	0.148549E	0.148549E	0.146522E	0.132333E	0.110952E	0.648405E	0.420493E	0.5
6.00	0.694907E	0.855458E	0.957768F	0.101297E	0.101297E	0.993832E	0.912448E	0.771967E	0.595691E	0.447406E	0.5
9.00	0.555442E	0.637968E	0.6956664E	0.719071E	0.719071E	0.705326E	0.656630E	0.580300E	0.499564E	0.399745E	0.5
12.00	0.432919E	0.481462E	0.514136E	0.5626951E	0.5626951E	0.518562E	0.490151E	0.447046E	0.394375E	0.339167E	0.5
15.00	0.335251E	0.366713E	0.387495E	0.395924E	0.395924E	0.375446E	0.349800E	0.317758E	0.282649E	0.234237E	0.5
18.00	0.259804E	0.281870E	0.296555E	0.303145E	0.303145E	0.292455E	0.277067E	0.257087E	0.227060E	0.199612E	0.5



der FELDSTÄRKE einer kreiszylindrischen Spule.



der FELDSTÄRKE einer kreiszyndrischen Spule.



3.41

STARTING POINTS OF FIELD LINES
 XPB-WERTE YPB-WERTE ZPB-WERTE

0.3000E 01 -0.
 0.1200E 02 -0.
 -0.
 -0.

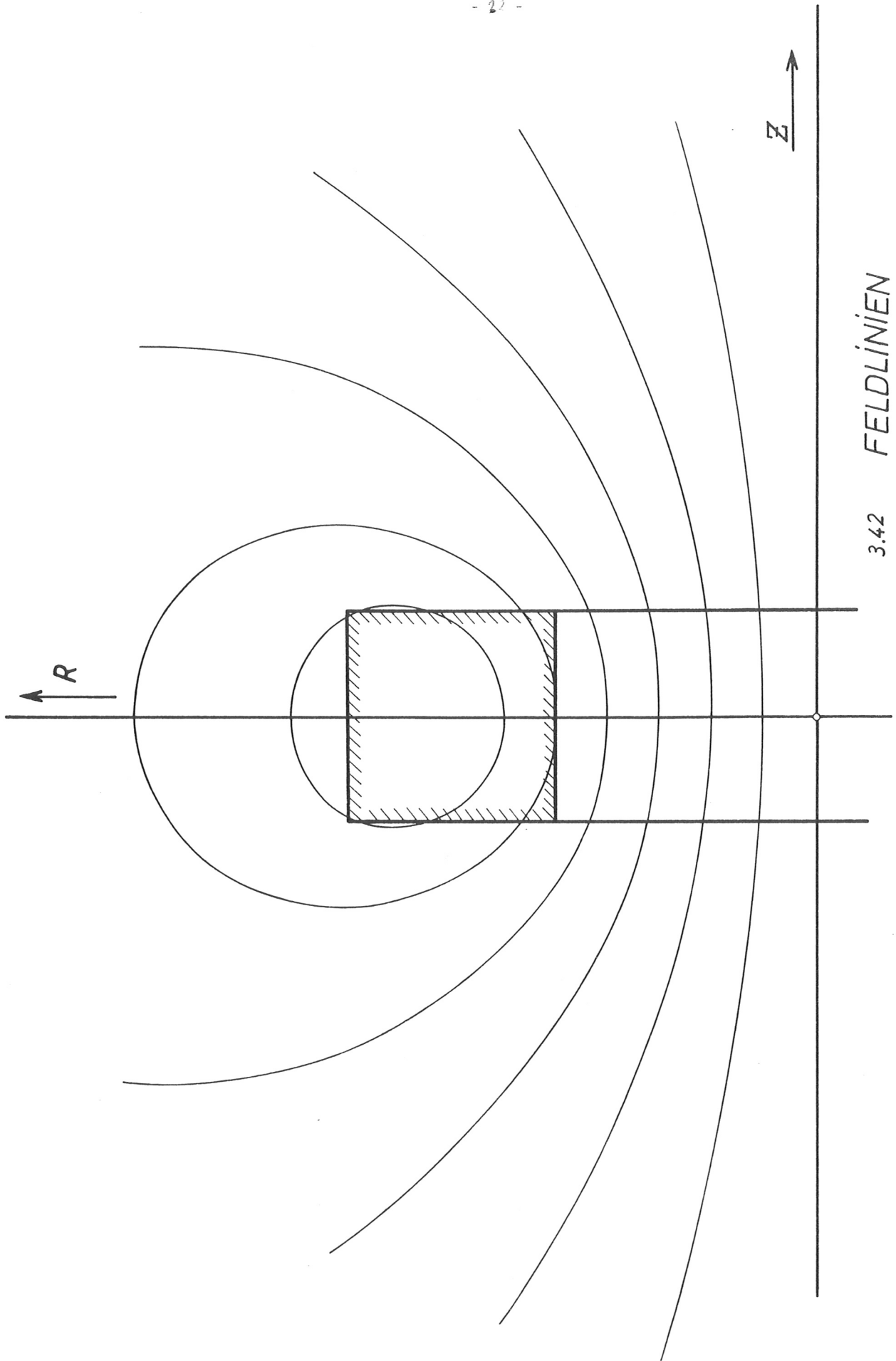
CO-ORDINATES OF POINTS ALONG FIELD LINE

X	Y	Z	R	LINE NUMBER	THETA	DS =	MOD(B)
3.0000000	-0.*	-0.*	3.0000000	3.0784011	360.0000000	12454.7667236	4.0000000
3.0784011	0.*	3.9989755	3.0784011	7.9918839	-0.*	10748.3507080	
3.3123038	0.*	3.0123038	3.0784011	11.973499	-0.*	8624.7784424	
3.6946832	0.*	3.6946832	3.6946832	15.9396621	-0.*	6624.8419800	
4.2114111	0.*	4.2114111	4.2114111	19.8888354	-0.*	4999.5299683	
4.8462148	0.*	4.8462148	4.8462148	23.8199358	-0.*	3751.5621643	
5.5348742	0.*	5.5348742	5.5848741	27.7325392	-0.*	2836.8846130	
6.4160528	0.*	6.4160528	6.4160528	31.6264739	-0.*	2168.9027710	
7.3307703	0.*	7.3307703	7.3307703	35.5017023	-0.*	1679.9180450	
8.3217919	0.*	8.3217919	8.3217919				

CO-ORDINATES OF POINTS ALONG FIELD LINE

X	Y	Z	R	LINE NUMBER	THETA	DS =	MOD(B)
12.0000000	-0.*	-0.*	12.0000000	12.4100168	360.0000000	-	4.0000000
12.4100168	0.*	3.9713904	12.4100168	7.7340052	-0.*	15898.4020996	
13.7347668	0.*	13.7347668	13.7347668	11.0921646	-0.*	12670.1394043	
15.8954115	0.*	15.8954115	15.8954115	14.0160060	-0.*	8903.3977051	
18.6183479	0.*	18.6183479	18.6183479	16.4744799	-0.*	6183.3209229	
21.7635902	0.*	21.7635902	21.7635902	21.7685900	-0.*	4318.7065430	
25.2505200	0.*	25.2505200	25.2505200	18.4359664	-0.*	3058.8362427	
28.9773738	0.*	28.9773738	28.9773738	19.8794029	-0.*	2209.2652893	
32.8687248	0.*	32.8687248	32.8687248	20.7913530	-0.*	1631.5116119	
36.8484545	0.*	36.8484545	36.8484545	21.1603277	-0.*	1232.6585999	

END CF FILE TAPP B 2



3.4.2 FELDLINIEN

einer kreiszylindrischen Spule mit rechteckigem Wicklungsquerschnitt und gleichmäßiger Stromdichte.

BERECHNUNG DES STATIONAEREN MAGNETFELDES N KOAXIALER ZYLINDRISCHER
 C SPULEN MIT RECHTECKIGEM QUERSCHNITT UND HOMOGENER STROMDICHE
 C PROGRAMMIERT VON HANNOLORE MUELLER
 C GARCHING, DEN 2. FEBRUAR 1966

PAGE 1
 13/05/04

```

DIMENSION HR(11,91),HZ(11,91)      ,H(11,91)
DIMENSION RD(10),ZD(51)
DIMENSION RA(20),RI(20) ,FL(20),A(20),G(20)
COMMON R,Z
COMMON RA,RI,FL,A,G

REWIND 13
READ INPUT TAPE 12,101,RMIN,RMAX,ZMIN,ZMAX
IF (NUMBER)10,20,10
 10 DO 11 I = 1,NUMBER
    CALL SKPFIL(13)
  11 CONTINUE
 20 READ INPUT TAPE 12,101,RMIN,RMAX,ZMIN,ZMAX
    READ INPUT TAPE 12,102,NUMBER ,N
    NUM = NUMBER+1
    WRITE OUTPUT TAPE 3,103,NUM
    READ INPUT TAPE 12,150,RA(K) ,K=1,N
    READ INPUT TAPE 12,150,(RI(K) ,K=1,N)
    READ INPUT TAPE 12,150,(FL(K) ,K=1,N)
    READ INPUT TAPE 12,150,(A (K) ,K=1,N)
    READ INPUT TAPE 12,150,(G (K) ,K=1,N)
    WRITE OUTPUT TAPE 3,104,RMIN,RMAX,ZMIN,ZMAX
    WRITE OUTPUT TAPE 3,151,(RA(K) ,K=1,N)
    WRITE OUTPUT TAPE 3,152,(RI(K) ,K=1,N)
    WRITE OUTPUT TAPE 3,153,(FL(K) ,K=1,N)
    WRITE OUTPUT TAPE 3,154,( A (K) ,K=1,N)
    WRITE OUTPUT TAPE 3,155,( G (K) ,K=1,N)
    PI=3.1415927
    ANPZ=NPZ
    ANPR=NPR
    DZ=(ZMAX-ZMIN)/(ANPZ-1.)
    DR=(RMAX-RMIN)/(ANPR-1.)
    NPZ=ANPZ
    NPR=ANPR
    DO 1 KZ=1,NPZ
      KZ=KZ
      ZD(KZ)=DZ*(FLOATF((KZ-1))+ZMIN
      DO 2 KR=1,NPR
        KR=KR
        RD(KR)=DR*(FLOATF((KR-1))+RMIN
        HRT=0.
        HZT=0.
        DO 19 K=1,N
          K=K
          CALL FIELD(RD(KR),ZD(KZ),HRT,HZT,K)
          19 CONTINUE
          H(KR,KZ)=SQRTF(HZT**2+HRT**2)
          H(R(KR,KZ))=HRT
          HZ(KR,KZ)=HZT
        2 CONTINUE

```

```

1 CONTINUE
WRITE TAPE 13, ((HR(KR,KZ),KR=1,NPR),KZ=1,NPZ),((HZ(KR,KZ),KR=1,NPR
1),KZ=1,NPZ)
ENC FILE 13
NUMBER = NUMBER+1

```

```

WRITE OUTPUT TAPE 3,170
WRITE OUTPUT TAPE 3,175, (RD(KR),KR=1,NPR)
WRITE OUTPUT TAPE 3,174, (ZD(KZ),HZ(KR,KZ),KR=1,NPR),KZ=1,NPZ)
WRITE OUTPUT TAPE 3,171
WRITE OUTPUT TAPE 3,173, (RD(KR),KR=1,NPR)
WRITE OUTPUT TAPE 3,174, (ZD(KZ),(HR(KR,KZ),KR=1,NPR),KZ=1,NPZ)
WRITE OUTPUT TAPE 3,172
WRITE OUTPUT TAPE 3,173, (RD(KR),KR=1,NPR)
WRITE OUTPUT TAPE 3,174, (ZD(KZ),(H(KR,KZ),KR=1,NPR),KZ=1,NPZ)

```

```
GC TO 20
```

```
C FORRAT
```

```

101 FORMAT(6E12.4)
103 FORMAT(1H,i,50X,12HCASE NUMBER 15//)
102 FORMAT(4I12)
151 FORMAT(1H,12HAUSSERRADIEN/,1H,10E12.4/)
152 FORMAT(1H,11HINNERRADIIEN/,1H,10E12.4/)
153 FORMAT(1H,16HLAENGEN DER SPULEN/,1H,10E12.4/)
154 FORMAT(1H,9HABSTAENDE/,1H,10E12.4/)
155 FORMAT(1H,12HSTROMDICHTEN/,1H,10E12.4/)
104 FORMAT(10X,5HMIN =E12.4,5X,6HMAX =E12.4,5X,6HMIN =E12.4,5X,6HMAX
1AX =E12.4//)
150 FORMAT(6E12.4)
170 FORMAT(1H1,40X,14HHZ IN A PRO CM///,
1      5X,7HR IN CM/,2      1X,7HZ IN CM)
171 FORMAT(1H1,40X,14HHR IN A PRO CM///,
1      5X,7HR IN CM/,2      1X,7HZ IN CM)
172 FORMAT(1H1,40X,14H H IN A PRO CM///,
1      5X,7HR IN CM/,2      1X,7HZ IN CM)
173 FORMAT(10X, (F8.2,4X)//)
174 FORMAT(F7.2,3X, E12.4)
END(1,0,0,0,0,0,1,0,0,1,0,0,0,0,0,0)
```

SUBROUTINE FIELD(RAT,Y,ZLG,HR,HY,Hz,Hy)

DIMENSION RA(20),RIE(20),FL(20),A(20),C(20)

COMMON R,Z
COMMON RA,RIE,FL,A,C

```

HR=0.  

Hz=0.  

Y=0.  

DO 10 K=1,N  

  K=K  

  FAK1=1./RA(K)  

  FAK2=1./RIE(K)  

  Z1 =FAK1*(ZED+FL(K)/Z.-A(K))  

  Z2 =FAK1*(ZED+FL(K)/Z.+A(K))  

  Z3 =FAK2*(ZED+FL(K)/Z.-A(K))  

  Z4 =FAK2*(ZED+FL(K)/Z.+A(K))  

  R1 =RAT/RIE(K)  

  R2=R1  

  R3=RAT/RIE(K)  

  R4=R3  

  HR1=HZIN(R1,Z1)  

  HR2=HZIN(R2,Z2)  

  HR3=HZIN(R3,Z3)  

  HR4=HZIN(R4,Z4)  

  HR11 =SUM(HR1,HR2,HR3,HR4,K)  

  HR3=HR2+HR11 *RIE(K)*G(Y)  

  Hz1=HZ1,(Z1,Z1)  

  Hz2=HZ1,(Z2,Z2)  

  Hz3=HZ1,(Z3,Z3)  

  Hz4=HZ1,(Z4,Z4)  

  Hz11 =SUM(Hz1,hz2,hz3,hz4,K)  

  Hz=Hz+PI*(K)*G(K)*HZ11  

10  C0,T1,U  

  H=SQRTF(H**2+Hz**2)
  RETURN
  END

```

```

FUNCTION SUM(AE,B,C,DE,K)
DIMENSION RA(20),RIE(20),FL(20),A(20),C(20)
COMMON R,Z  
COMMON RA,RIE,FL,A,C
K=K
ALFA=RA(K)/RIE(K)
SUM=ALFA*(AB-C)+DE
RETURN
END

```

```

FUNCTION HZIN(RAD,ZET)
COMMON R,Z
PI = 3.1415927
R=RAD
Z=ZET

```

```
WINTG=GAUSS(0.,PI,4,X)
WINTF=TYPE4(X)
HRIN=1./(2.*PI)*WINTG
RETURN
END
```

```
FUNCTION HZ17(RAD,ZET)
```

```
COMMON R,Z
PI = 3.1415927
RAD=R
Z=ZET
WINT=GAUSS(0.,PI,4,X)
WINT=TYPE1(X)
A = -ZET*WINT
B = A*RAD*WINT
IF DIVIDE CHECK 20,20
20 IF .NOT.CTIT PVE FIELD 30,30
WINT=GAUSS(0.,PI,4,X)
WINT=TYPE3(X)
C = RAD*ZET/A*GF(ZCT)*WINT
HZ17=(1./(2.*PI))*(A+C*(PI/2.)*(1.-RAD+AEUF(1.-RAD)))
```

```
RETURN
END
```

```
FUNCTION TYPE1(THETA)
COMMON R,Z
QUADS=Z*R*AT
PROD=2.*R*COSF(THETA)
ZAEHL=2.*((1.-PROD)*SINF(QUADS+1.-2.*PROD))
A1EN=A1P(Z)+SINF(QUADS)
B=ZAEHL/A1EN
IF (B-1.*E-10)<2.,2,
2 TYPE1=-1.E36
3 TYPE1=LOGF(B)
4 RETURN
END
```

```
FUNCTION TYPE2(THETA)
COMMON R,Z
PROD=2.*R*COSF(THETA)
ZAEHL=SINF(THETA)*SINF(THETA)
A1EN=(1.+R*R-PROD)*(SQRF(Z*L*R*R+1.-PROD))
TYPE2=ZAEHL/A1EN
RETURN
END
```

```
FUNCTION TYPE3(THETA)
COMMON R,Z
PI=3.1415927
```


Literaturverzeichnis

1. M.W. Garrett: "Axially symmetric systems for generating and measuring magnetic fields".
J. of Applied Physics /Vol. 22/9/1951
part of mutual inductance
2. M.W. Garrett: "Computer programs using zonal harmonics for magnetic properties of current-systems with special reference to the IBM 7090"
OAK RIDGE NAT.LAB. - 3318/Nov. 1962
3. W. Bundke: "Ein Beitrag zur Berechnung von Potential, Feldstärke und Feldindex von Luftspulen"
Zeitschrift für angewandte Physik/XVIII/3/1964
4. G.W. Carter, S.C. Lab. C.Y.K.Po:
"The field of current in a thin wire ring"
Proc. Camb. Phil. Soc./60/1964/613
5. Handbuch der Physik, Band 16/ Springer-Verlag 1958
6. M.W. Garrett: "Tables for the internal magnetic source functions U_n for thick solenoids and disk coils"
Dep. of Phys./ Swarthmore College/Oct. 1953
7. N.B. Alexander, A.C. Downing:
"Tables for a semi infinite current sheet"
OAK RIDGE NAT. LAB. - 2828
8. G.V. Brown, L. Flax: "Superposition of semi-infinite solenoids for calculating magnetic fields of thick solenoids"
J. of Applied Physics/Vol. 35/6/June 1964
9. G.V. Brown, L. Flax: "Superposition calculation of thick solenoid fields from semi-infinite solenoid tables"
NASA T.N. D - 2494

10. J. Hak: "Eisenlose Drosselspulen"
K.F. Kohler Verlag/Leipzig 1939
11. J.V. Jones: "Calculation of the coefficient of mutual induction of a circle"
Proc. of the Roy. Soc./Vol. LXIII/1898
12. Chr. Snow: "Mutual inductance and force between two coaxial helical wires"
J. of Res. of the Nat. Bur. of Stand. Vol. 22/ Febr. 1939
13. M.W. Garrett: "An elliptic integral computer package for magnetic fields, forces and mutual inductances of axisymmetric systems, and a versatile line-tracing routine"
OAK RIDGE NAT. LAB.- 3575 April 1965
14. M.W. Garrett: "Calculation of fields, forces and mutual inductances of current systems by elliptic integrals"
J. of Appl. Physics/Vol. 34/9/1963
15. C. Hastings: "Approx. for Digital Computer"
Princeton/New Jersey 1955
16. R. Bulirsch: "Numerical calculation of elliptic integrals and elliptic functions"
Numerische Mathematik 7/78-90/ (1965) und Bericht des Math. Institutes der TH München/Nr. 6604.